

УДК 532.546

## МАТЕМАТИЧЕСКОЕ МОДЕЛИРОВАНИЕ ТЕЧЕНИЙ ВНУТРИ ВРАЩАЮЩИХСЯ ТЕЛ ИЗ ЯЧЕИСТО-ПОРИСТЫХ МАТЕРИАЛОВ

А. В. Федоров, В. М. Фомин, Т. А. Хмель

Институт теоретической и прикладной механики СО РАН, 630090 Новосибирск

E-mails: fedorov@itam.nsc.ru, khmel@itam.nsc.ru

Развита физико-математическая модель, описывающая течения газа внутри быстро вращающихся тел из ячеисто-пористых материалов. Получены асимптотические и численные решения некоторых задач вынужденной центробежной конвекции внутри ячеисто-пористых тел цилиндрической формы. Исследовано влияние определяющих параметров (коэффициента сопротивления, относительной длины цилиндра) на характеристики и типы течений.

**Ключевые слова:** ячеисто-пористые материалы, вихревые течения, математическое моделирование.

**Введение.** С развитием технологий изготовления ячеисто-пористых материалов (ЯПМ) открываются широкие перспективы их применения в технике для различного рода горелочных и энергопреобразующих устройств [1-2]. Необходимость исследования внутренних и внешних течений для тел, полностью или частично состоящих из таких материалов, требует развития подходов к описанию их внутренней аэродинамики при различных условиях. В частности, при вращении изделий из ЯПМ внутри и вокруг них формируется вынужденное конвективное течение, обусловленное центробежными силами. Анализ характеристик и моделирование таких течений представляют интерес с точки зрения возможности управления потоками массы и энергии и формирования желательных гидродинамических структур.

Ранние исследования течений внутри вращающихся пористых материалов проводились в предположении относительно малой угловой скорости. Это позволило в рамках теории фильтрации, а также ее модификации с учетом вращательного движения получить асимптотические и численные решения для ряда задач тепловой конвекции [3-7]. Создаваемые в настоящее время ячеисто-пористые материалы обладают высоким коэффициентом проницаемости (около 0,95) и относительно низким сопротивлением. Для указанных выше практических приложений представляет интерес рассмотрение процессов при высокой частоте вращения тел (1000–5000 об/мин). В этих условиях предположения линейной теории фильтрации о возможности пренебрежения конвективными членами неприемлемы. Поэтому необходимо рассматривать проблему в нелинейной постановке, т. е. с учетом конвективных и инерционных членов в уравнениях сохранения импульса.

Целью настоящей работы является развитие нелинейной физико-математической модели для описания течений газа внутри быстро вращающихся тел из ЯПМ, получение некоторых асимптотических решений и анализ влияния управляющих параметров на характеристики течений.

---

Работа выполнена при частичной финансовой поддержке Российского фонда фундаментальных исследований (код проекта 03-01-00453) в рамках интеграционного проекта № 83 СО РАН.

**Физико-математическая модель.** Рассматривается тело из ЯПМ, вращающееся с определенной угловой скоростью. Вследствие центробежных сил внутри этого тела формируется вынужденное конвективное течение, соответственно, возникает течение и вне тела. Требуется определить параметры внутреннего газового потока, что необходимо, например, для определения нагрузок на тело. Важной задачей является также определение характеристик внешнего потока воздуха.

Поскольку размеры неоднородностей в ячеисто-пористых материалах много меньше характерных макроскопических размеров, описание возможно в рамках подходов механики гетерогенной среды. Структура ЯПМ рассматривается как однородная проницаемая фаза, воздействие которой на протекающую через нее вторую фазу (жидкость или газ) проявляется только в виде силы сопротивления. При этом, учитывая высокий коэффициент проницаемости, можно пренебречь стеснением потока внутри пористой структуры. Тогда взаимодействующая сила сводится только к сопротивлению трения. Ограничимся рассмотрением дозвуковых течений, пренебрегая на первом этапе исследования эффектами сжимаемости, тепловой конвекции, силы тяжести и вязкой диссипации. Вязкость газа поэтому будет учитываться только в представлении силы взаимодействия газа с пористой структурой.

Изучим вначале трехмерное стационарное осесимметричное изотермическое течение газа внутри пористого цилиндрического тела, вращающегося с постоянной скоростью. Уравнения в безразмерных переменных в лабораторной (относительно неподвижного наблюдателя) цилиндрической системе координат  $(r, z, \theta)$ , связанной с осью вращения, имеют вид

$$\begin{aligned} \frac{\partial ur}{\partial r} + \frac{\partial vr}{\partial z} = 0, \quad \frac{\partial u^2 r}{\partial r} + \frac{\partial uvr}{\partial z} = -r \frac{\partial p}{\partial r} + w^2 - r f_r, \\ \frac{\partial uvr}{\partial r} + \frac{\partial v^2 r}{\partial z} = -r \frac{\partial p}{\partial z} - r f_z, \quad \frac{\partial uwr}{\partial r} + \frac{\partial vwr}{\partial z} = -uw - r f_\theta. \end{aligned} \quad (1)$$

Здесь  $p$  — давление;  $u, v, w$  — соответственно радиальная, продольная и тангенциальная компоненты скорости;  $\mathbf{f}$  — объемная сила, описывающая взаимодействие газа с пористой структурой. Введены следующие характерные масштабы задачи: угловая скорость вращения тела  $\Omega$ ; характерная длина — внешний радиус цилиндра  $R$ ; характерная скорость —  $R\Omega$ ; плотность газа при нормальных условиях  $\rho_0$ ; масштаб давления  $p_0 = \rho_0 R^2 \Omega^2$ ; масштаб времени  $1/\Omega$ .

Конкретизация вида объемной силы зависит от определенных условий. Так, при достаточно больших скоростях вращения сила взаимодействия между газом и пористым скелетом может быть представлена в форме квадратичной зависимости  $\mathbf{f} = K|\mathbf{v} - \mathbf{v}_s|(\mathbf{v} - \mathbf{v}_s)$ . Здесь  $\mathbf{v}_s = r\mathbf{i}_\theta$  — скорость движения элемента объема вращающегося тела;  $K = kR$ , где  $k$  — коэффициент сопротивления, зависящий от свойств материала, пористости, вязкости газа. Будет рассматриваться также линейный закон, справедливый при малых скоростях просачивания,  $\mathbf{f} = L(\mathbf{v} - \mathbf{v}_s)$ ,  $L = \lambda/\Omega$ , где  $\lambda$  — коэффициент в законе фильтрации. В [8] представлены результаты экспериментальных исследований коэффициента сопротивления различных ЯПМ и двучленная зависимость, при которой объемная сила  $\mathbf{f}$  представляется в виде линейной комбинации двух вышеприведенных формул.

**Одномерные закрученные течения.** Закрученные течения, параметры которых зависят только от радиуса, реализуются, например, в дисках с внутренней полостью, закрытых с торцевых сторон непроницаемыми стенками [9]. При вращении такого диска газ свободно протекает из внешней области во внутреннюю полость радиуса  $r_0$ , проходит через пористый материал и вытекает через внешнюю поверхность  $r = 1$ . Для установившегося течения уравнения (1) сводятся к системе обыкновенных дифференциальных

уравнений

$$\frac{dur}{dr} = 0, \quad \frac{du^2r}{dr} = -r \frac{dp}{dr} + w^2 - r f_r, \quad \frac{duwr}{dr} = -uw - r f_\theta, \quad (2)$$

непосредственно из которых можно определить  $u = q/r$  ( $q$  — постоянная величина, характеризующая расход). Краевая задача для системы (2) ставится в соответствии с физическими условиями. Давление определяется с точностью до константы, задаваемой условиями на бесконечности. Если каким-то образом поддерживается заданный расход газа через пористое тело, то  $u = q_0/r$ . Тогда достаточно одного условия для  $w$ , например  $w(r = r_0) = 0$  (отсутствие закрутки входного течения на внутренней поверхности). Если тело находится в свободном пространстве, то дополнительное условие, определяющее расход, можно получить из интеграла Бернулли для входного и выходного течений. (В [9] соответствующее условие выписано в общем виде с учетом трения и потерь давления.)

В случае линейного закона сопротивления ( $f_r = Lu$ ,  $f_\theta = L(w - r)$ ) решение определяется аналитически и при  $w(r_0) = 0$  имеет вид

$$w = \left(r - \frac{1}{\alpha r}\right) - \frac{r_0}{r} \left(r_0 - \frac{1}{\alpha r_0}\right) \exp[-\alpha(r^2 - r_0^2)], \quad \alpha = \frac{L}{2q}. \quad (3)$$

Для квадратичного закона сопротивления  $f_r = Ku\sqrt{u^2 + (w - r)^2}$ ,  $f_\theta = K(w - r) \times \sqrt{u^2 + (w - r)^2}$  и задача сводится к решению уравнений

$$u = \frac{q}{r}, \quad \frac{dW}{dr} - \frac{2r}{q} = -KW\sqrt{1 + W^2}, \quad W = -\frac{r(w - r)}{q}. \quad (4)$$

При малых  $r$  малó  $W$ , тогда с точностью до  $W^2$  правую часть второго уравнения в (4) можно заменить на  $-KW$  и получить асимптотическое решение

$$w = r - \frac{2}{K} + \frac{2}{K^2 r} - \frac{r_0}{r} \left(r_0 - \frac{2}{K} + \frac{2}{K^2 r_0}\right) \exp[-K(r - r_0)]. \quad (5)$$

Распределения азимутальной скорости, полученные из численного решения уравнения (4) при различных значениях  $q$ , показаны на рис. 1 сплошными линиями, асимптотические решения (5) — штриховыми. Как видно, при  $q > 1$  имеет место хорошее совпадение

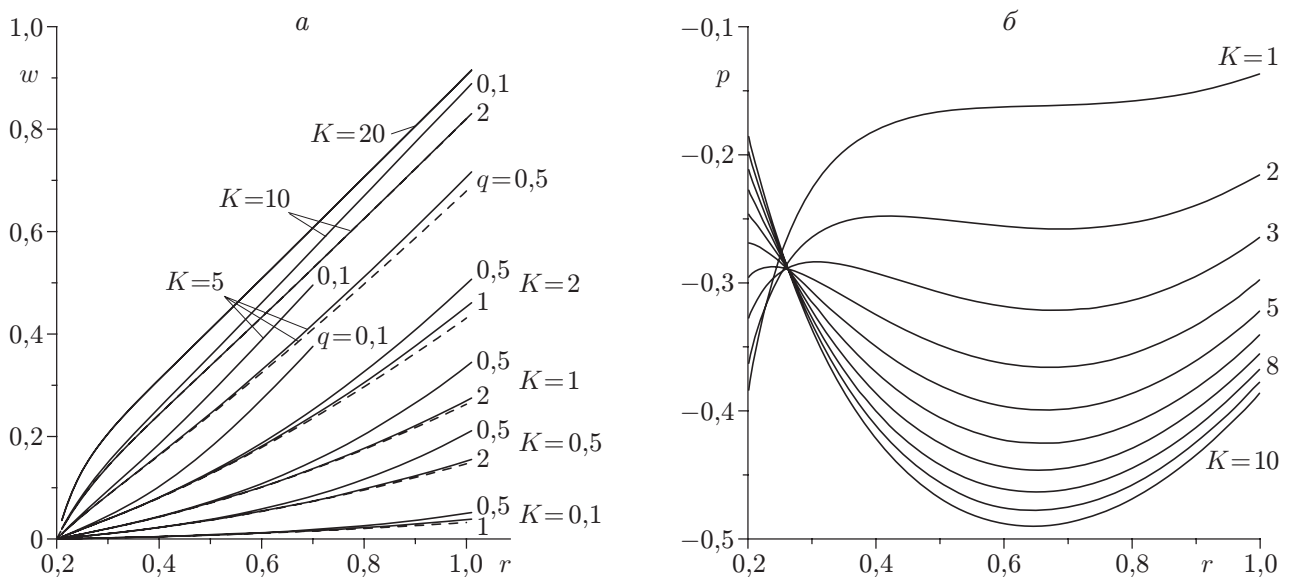


Рис. 1. Азимутальная скорость (а) и давление (б) плоского закрученного течения внутри диска с закрытыми торцами ( $r_0 = 0,2$ )

во всей рассматриваемой области вплоть до внешней границы. С увеличением параметра сопротивления  $K$  диапазон допустимых значений  $q$  расширяется. В частности, при  $K = 20$  асимптотическое решение и полученные численно кривые для  $q = 0,1$  и  $q = 10$  практически совпадают. Подобным образом ведут себя функции  $w(r)$  и в зависимостях от  $L$  для линейного закона сопротивления.

При отсутствии препятствий (например, кожуха), ограничивающих движение газа вокруг вращающегося пористого тела, для определения расхода можно привлечь интеграл Бернулли для внешнего потока:

$$\Delta p = p_1 - p_0 = (u_0^2 + w_0^2 - u_1^2 - w_1^2)/2. \quad (6)$$

Из (6) и второго уравнения системы (2) следует

$$-w_1^2 = 2 \int_{r_0}^1 \left( \frac{w^2}{r} - f_r \right) dr. \quad (7)$$

Решение уравнения (7) совместно с решением уравнений (2) как для линейного, так и для квадратичного закона сопротивления возможно численно методом итераций. Расчетные зависимости расхода от  $K$  при различных  $r_0$  показаны на рис. 2,а сплошными линиями.

Для получения приближенного значения расхода без решения полной задачи можно воспользоваться следующими асимптотическими оценками. При малых  $\alpha = L/(2q)$  из (3) и (7) следует  $q = \sqrt[3]{3L^2/(32 \ln(1/r_0))}$ . Данное приближение допустимо для  $\alpha < 0,1$  и налагает жесткое ограничение на значения  $L$  (например, для  $r_0 = 0,05$  до  $0,003$ , а для  $r_0 = 0,2$  до  $0,0006$ ). В противоположном случае  $\alpha \gg 1$ , с учетом того, что при  $\alpha = 1/(2r_0^2)$  и достаточно малых  $r_0$  решение  $w(r)$  очень близко к линейной функции, справедлива оценка  $q \approx 1/(L \ln(1/r_0))$ , которая обеспечивает хорошее приближение при  $r_0 < 0,2$  и  $L > 8$ . Для квадратичного закона сопротивления асимптотическое решение (5) при  $(w - r)/q \ll 1/r$  позволяет получить приближенную оценку

$$q = \left\{ \frac{r_0}{2K(1 - r_0)} \left[ w_1^2 + 2 \int_{r_0}^1 \frac{w^2}{r} dr \right] \right\}^{1/2}. \quad (8)$$

Решение (8) (штриховые линии на рис. 2,а) пригодно для определения расхода при больших значениях  $K$  и достаточно малых  $r_0$ :  $r_0 < 0,5$ ,  $K > 5$ . Для обоих законов сопротивления зависимость расхода от параметра сопротивления  $K(L)$  немонотонна и характеризуется точкой максимума (оптимальная структура), положение и значение которой зависят от  $r_0$ . Вторая особенность состоит в том, что увеличение внутреннего радиуса до  $0,8-0,9$  приводит к увеличению расхода и перемещению точки максимума в сторону больших значений  $L$  и  $K$  и больших значений внутреннего радиуса (около  $0,9$ ). Данные свойства расхода отмечены также в [9].

Момент силы, необходимый для поддержания вращения пористого диска с заданной постоянной угловой скоростью, компенсируется интегральным моментом азимутальной силы сопротивления и силы внешнего сопротивления, которая существенно меньше. Пренебрегая последним, имеем

$$M = \int_{r_0}^1 2\pi r^2 f_\theta dr.$$

Зависимости момента от параметра  $K$  приведены на рис. 2,б. Здесь также имеется точка максимума, но она не совпадает с точкой максимума для расхода. Максимальное значение расхода находится на восходящей части кривых в зависимостях  $M(K)$  (как и  $M(L)$ ),

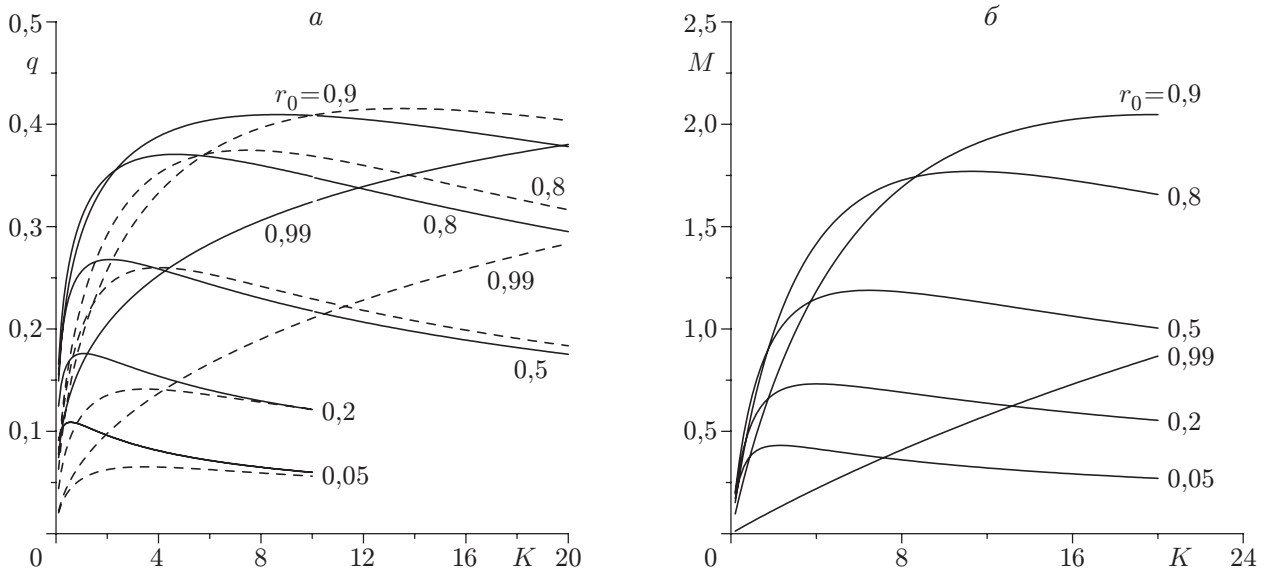


Рис. 2. Зависимости расхода (а) и момента (б) от параметра сопротивления и внутреннего радиуса

поэтому величина  $q/M$  также имеет точку максимума по  $L$  или  $K$  для каждого фиксированного значения  $r_0$ . Точка максимума характеризует структуру как оптимальную по отношению расхода к моменту.

Давление  $p$  определяется из уравнения (1) и при  $p_\infty = 0$  может быть представлено в виде

$$p = -\frac{q^2}{2r^2} + \int_{r_0}^r \left( \frac{w^2}{r} - f_r \right) dr.$$

На рис. 1,б распределения  $p$  представлены для случая, когда вращающийся диск находится в свободном неограниченном пространстве, а расход определяется с учетом (7). Профили давления качественно зависят как от параметров сопротивления (что видно на рис. 1,б), так и от внутреннего радиуса. При  $r_0 = 0,2$  для малых значений  $K$  (или  $L$ ) давление монотонно возрастает и достигает максимума на выходе. С увеличением параметра сопротивления появляются точки локального максимума и локального минимума внутри области. Точка локального максимума с ростом  $L$  и  $K$  или с увеличением  $r_0$  смещается влево и выходит на границу  $r = r_0$ . Точка локального минимума смещается вправо при увеличении  $r_0$  и выходит на границу, так что при  $r_0 = 0,8$  давление падает с увеличением  $r$  при всех  $K > 1$ . Сложное поведение давления, как следует из анализа второго уравнения системы (2), обусловлено одновременным влиянием конвективного члена  $du^2r/dr = -(q/r)^2$ , центробежной силы, зависящей от  $w^2$ , и силы сопротивления  $f_r$ . При этом расход  $q$  также является сложной функцией от параметра сопротивления и  $r_0$ . Можно определить условия, при которых давление внутри диска будет близким к постоянному. Например, для  $r_0 = 0,2$  наименьший перепад между максимальным и минимальным значениями имеет место при  $K \approx 3,5$ , для  $r_0 = 0,5$  — при  $K \approx 1$ , а для  $r_0 = 0,8$  — при  $K \approx 0,4$ . Полное давление  $P = p + (u^2 + v^2 + w^2)/2$  при заданных граничных условиях равно нулю при  $r = r_0$  и при  $r = 1$ , поэтому всегда имеет точку локального минимума внутри области. Значение  $P$  в этой точке тем ниже, чем выше значение параметра сопротивления.

**Пространственные закрученные течения с осевой симметрией.** Рассмотрим далее вращение пористого цилиндра конечной длины  $H$ , поверхность которого полностью

проницаема. Под действием сил центробежной конвекции втекание происходит через торцевые плоскости  $z = 0$  и  $z = 2z_0$  ( $z_0 = H/2R$ ), вытекание — через поверхность  $r = 1$ . Для получения полной информации о протекании газа через пористые тела, вообще говоря, необходимо решение сопряженной задачи, т. е. совместное рассмотрение внутреннего и внешнего течений. При определенных условиях для внутреннего течения можно получить частные решения. Эти решения могут быть использованы в дальнейшем как для тестирования численного метода расчета внутреннего двумерного течения в общем случае, так и для сравнения с решением сопряженной задачи о внутреннем и внешнем течениях.

Для линейного закона сопротивления уравнения установившегося движения допускают частное решение вида  $u(r, z) = rU(z)$ ,  $v(r, z) = V(z)$ ,  $w(r, z) = rW(z)$ ,  $p(r, z) = P(z) + P_0r^2$ , а функции  $U(z)$ ,  $V(z)$ ,  $W(z)$ ,  $P(z)$  удовлетворяют системе обыкновенных дифференциальных уравнений

$$\begin{aligned} \frac{dV}{dz} &= -2U, & \frac{dU}{dz} &= \frac{W^2 - U^2 - LU - 2P_0}{V}, \\ \frac{dP}{dz} &= 2UV - LV, & \frac{dW}{dz} &= -\frac{2UW + L(W - 1)}{V}. \end{aligned} \quad (9)$$

Течение на входе ( $z = 0$ ) имеет три компоненты скорости. Радиальная компонента определяется заданной константой  $U_0$ ;  $u(r, 0) = U_0r$ ,  $P_0 = -0,5U_0^2$ . Значение осевой компоненты скорости на входе неизвестно, но она должна быть равна нулю на оси симметрии ( $z = z_0$ ). Принимается, что азимутальная скорость на входе равна нулю (отсутствие закрутки внешнего потока), а давление определяется из интеграла Бернулли. Соответствующие краевые условия для (9) таковы:

$$z = 0: \quad U = U_0, \quad W = 0, \quad P = p_\infty - 0,5V^2, \quad z = z_0: \quad V = 0. \quad (10)$$

Решение краевой задачи (9), (10) находится численным методом пристрелки: выбирается значение  $V(0)$ , при котором решение задачи Коши удовлетворяет условию  $V(z_0) = 0$ .

Результаты расчетов приведены на рис. 3. На рис. 3,а показаны изолинии основных параметров при  $L = 1$  и  $U_0 = 0$ ,  $z_0 = 0,5$ , на рис. 3,б — зависимость искомых функций от параметра  $L$  при  $U_0 = 0$ ,  $z_0 = 1$ . Как видно, азимутальная скорость является наиболее чувствительной характеристикой относительно коэффициента сопротивления. Следует также отметить немонотонный характер поведения компонент скорости  $u$  и  $w$  (соответственно, скоростного напора и полного напора  $P$ ) на выходной (боковой) поверхности цилиндра, что наблюдалось и в экспериментах.

Отметим, что условие параллельности входного потока оси симметрии  $U_0 = 0$  представляется в определенной степени ограниченным, так как, вообще говоря, не обеспечивает сопряжения с внешним течением. Поэтому исследовано влияние отклонения потока (величины  $U_0$ ) на решение, результаты которого представлены на рис. 3,в ( $L = 0,5$ ,  $z_0 = 0,2$ ). Видно, что осевая скорость меняется незначительно, а радиальная с увеличением  $U_0$  становится немонотонной.

Влияние соотношения геометрических параметров (относительной длины цилиндра) можно проследить, сравнивая кривые, соответствующие  $U_0 = 0$  и  $L = 0,5$ , на рис. 3,б и 3,в. Как видно, уменьшение относительной длины цилиндра  $z_0$  от 1 до 0,2 оказывает влияние на величину осевой компоненты скорости  $V$  и почти не сказывается на распределении и максимальных значениях  $U$  и  $W$ .

Полученные решения и приведенные их свойства могут быть использованы при решении полной задачи о внутреннем и внешнем течениях, а также в качестве тестовых решений при разработке численного алгоритма расчета задачи с общим законом сопротивления.

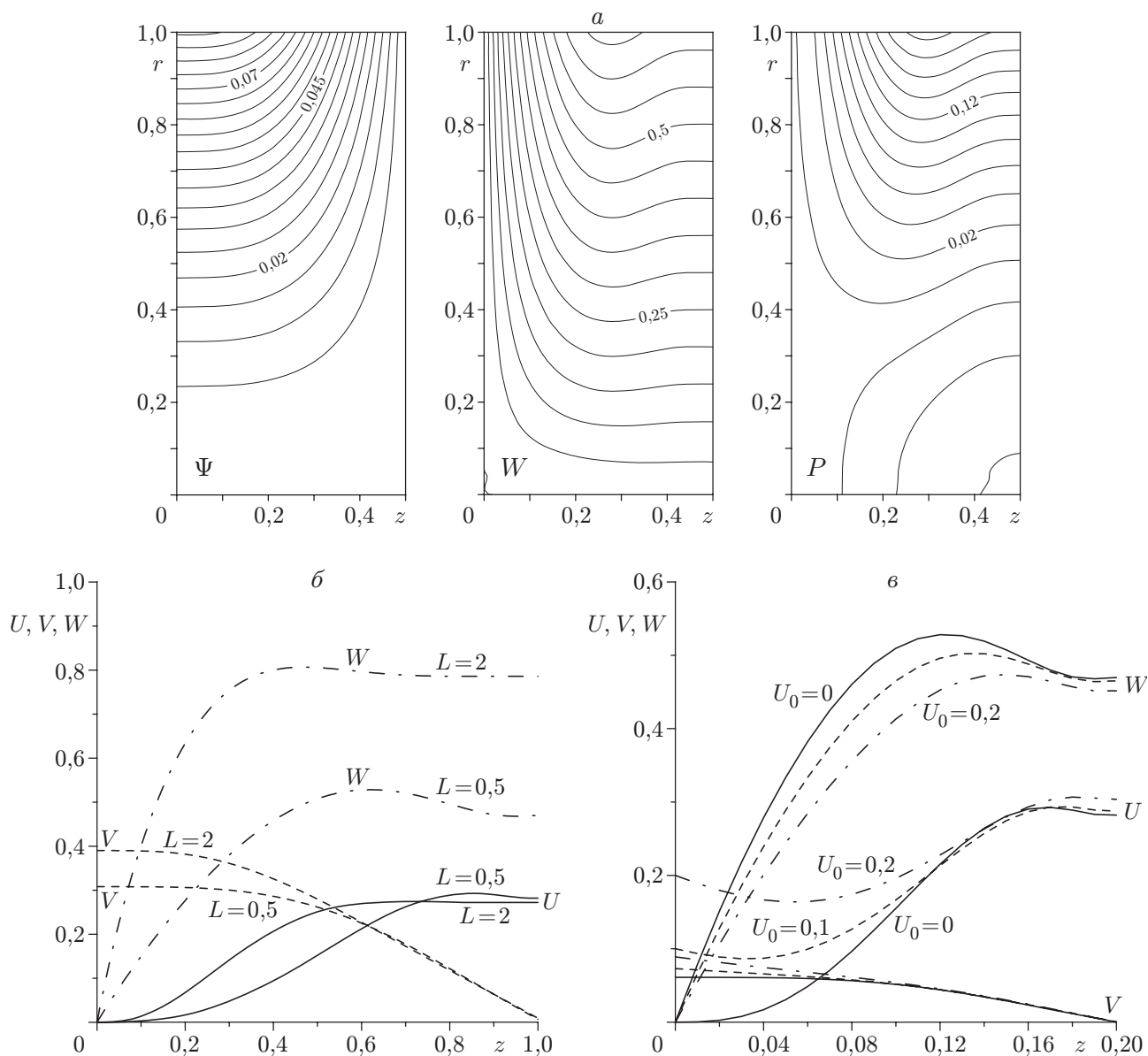


Рис. 3. Течение внутри вращающегося цилиндрического тела из ЯПМ с линейным законом сопротивления:  
 а — изолинии параметров в плоскости  $(z, r)$ ; б — зависимость решений от параметра сопротивления  $L$ ; в — от наклона входного потока  $U_0$

**Заключение.** Таким образом, в результате выполненного исследования разработана физико-математическая модель для изучения течений несжимаемого газа внутри быстро вращающихся тел из ячеисто-пористых материалов;

получены асимптотические и численные решения для одномерных закрученных течений внутри ЯПМ с различными законами сопротивления, показано качественно различное поведение давления в зависимости от параметра сопротивления;

получены численные решения для двумерного течения внутри открытого вращающегося цилиндрического тела с линейным законом сопротивления структуры, исследовано влияние геометрических параметров задачи и параметра сопротивления на решение, установлена зависимость решений от направления входного потока, что указывает на необходимость решения сопряженной задачи совместно с внешним течением.

Настоящая модель и полученные решения могут быть использованы при решении полной задачи о внутреннем и внешнем течениях газа при вращении тел из ячеисто-пористых материалов. Модель также может быть расширена с учетом процессов вязкой диссипации, теплообмена и химических реакций.

## ЛИТЕРАТУРА

1. **Baev V. K., Fomin V. M.** Main ideas of interdisciplinary projects of new types of energy-transducing facilities // Proc. of the Intern. conf. on methods of aerodynamic research, Novosibirsk, Russia, 28 June — 3 July, 2004. Novosibirsk: Publishing House “Nonparallel”, 2004, Pt I. P. 26–29.
2. **Баев В. К., Фомин В. М.** Многофункциональные машины с дисковыми роторами // Науч.-практ. конф. “Энергосбережение и обеспечение экономической безопасности на промышленных предприятиях”, С.-Петербург, Россия, 26–28 мая 2004. СПб.: С.-Петербургская электротехническая компания, 2004. С. 7–9.
3. **Mahato J. P., Maiti M. K.** Unsteady free convective flow and mass transfer in a rotating porous medium // Indian. J. Technol. 1988. V. 26, N 6. P. 255–259.
4. **Vadasz P.** Fundamentals of flow and heat transfer in rotating porous media // Heat Transfer. Bristol: Taylor and Francis, 1994. V. 5. P. 405–410.
5. **Vadasz P.** Centrifugally generated free convection in a rotating porous box // Intern. J. Heat Mass Transfer. 1994. V. 37, N 16. P. 2399–2404.
6. **Vadasz P.** Coriolis effect on free convection in a long rotating porous box subject to uniform heat generation // Intern. J. Heat Mass Transfer. 1995. V. 38, N 11. P. 2011–2018.
7. **Zhao M., Bolliard L., Prud’homme M.** Effect of weak rotation on natural convection in a horizontal porous cylinder // Heat and Mass Transfer. 1996. V. 31, N 6. P. 403–409.
8. **Беклемышев А. М.** Особенности закона сопротивления высокопористых ячеистых материалов // Республиканский инж.-техн. центр порошковой металлургии с НИИ проблем порошковой технологии и покрытий и опытным производством. Пермь, 1996. Деп. в ВИНТИ 09.07.96, № 2265-B96.
9. **Baev V. K., Minaev S. S.** Characteristics of the flow around and inside of the rotating porous disk // Book of abstracts of advanced fluid information and transdisciplinary fluid integration. Sendai (Japan): Tohoku University, 2004. P. 238–241.

*Поступила в редакцию 9/II 2005 г.,  
в окончательном варианте — 24/III 2005 г.*